

УДК 532.5

О ДИНАМИЧЕСКОМ ПРОВАЛЕ УРОВНЯ СВОБОДНОЙ ПОВЕРХНОСТИ ЖИДКОСТИ КОНЕЧНОЙ ГЛУБИНЫ НАД СЛИВНЫМ ОТВЕРСТИЕМ

В. С. СИЗОНОВ

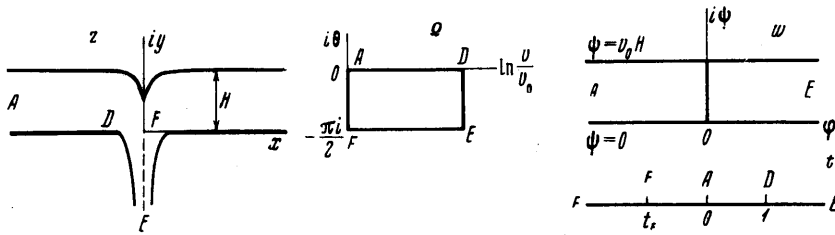
(Ростов-на-Дону)

Задача о динамическом провале уровня свободной поверхности жидкости конечной глубины, истекающей через отверстие в дне сосуда, рассмотрена как плоская задача теории струй идеальной жидкости.

Приведен график зависимости глубины динамического провала уровня свободной поверхности над сливным отверстием от относительной глубины жидкости в сосуде. Для коэффициента сжатия струи получено значение 0.96, практически не зависящее от глубины слоя жидкости.

Рассматривается истечение жидкости конечной глубины H из сосуда, находящегося под избыточным давлением p_0 .

При этом предполагается, что весом столба жидкости можно пренебречь по сравнению с избыточным давлением газа, действующим на со-



Фиг. 1

бодную поверхность, т. е. $\rho g H / p_0 \ll 1$, а жидкость является невязкой и несжимаемой.

Кроме того, движение жидкости предполагается плоским и установившимся.

Границы DE (фиг. 1) истекающей из сосуда жидкости в плоскости z будут свободными линиями тока, скорость на этих линиях тока v_* связана со скоростью жидкости в сосуде (вдали от сливного отверстия) v_0 соотношением Бернулли

$$v_* / v_0 = (1 + E)^{1/2}, \quad E = 2p_0 / \rho v_0^2 \quad (E \text{ — число Эйлера})$$

Течению в плоскости $z = x + iy$ соответствует (фиг. 1) прямоугольник в плоскости Ω логарифмического годографа $\Omega = -\ln(v/v_0) + i\theta$, где v — скорость жидкости в рассматриваемой точке, θ — угол наклона линии тока к оси x .

Конформное отображение прямоугольника $ADEF$ на верхнюю полуплоскость t параметрического комплексного переменного $\operatorname{Im} t > 0$ осуществляется при помощи интеграла Шварца — Кристоффеля [1]

$$\Omega(t) = C_1 \int_{t_0}^{t_1} [t(t-1)(t-t_F)]^{-1/2} dt + C_2 \quad (1)$$

Контур прямоугольника отображается на действительную ось $\operatorname{Im} t = 0$, положение трех вершин прямоугольника на оси $\operatorname{Im} t = 0$ может быть выбрано произвольно, значения комплексных постоянных C_1 и C_2 и положение четвертой вершины однозначно определяются выбором указанных трех точек. В данном случае принято

$$t_A = 0, \quad t_D = 1, \quad t_E \rightarrow \infty$$

положение четвертой вершины при этом находится из условия

$$t_F = 1 - \frac{\vartheta_3^4(0|\tau)}{\vartheta_2^4(0|\tau)}$$

Нулевые значения тэта-функций Якоби $\vartheta_2(0|\tau)$ и $\vartheta_3(0|\tau)$ могут быть представлены быстро сходящимися рядами

$$\vartheta_2(0|\tau) = 2q^{1/4} + 2q^{9/4} + 2q^{25/4} + \dots \quad (q = e^{\pi i \tau})$$

$$\vartheta_3(0|\tau) = 1 + 2q + 2q^4 + 2q^9 + \dots \quad (\tau = \pi i(1+E)^{-1})$$

Значения комплексного потенциала $w = \varphi + i\psi$, где φ — потенциал скорости, ψ — функция тока, определяются с точностью до аддитивной постоянной; приняв $w_D = 0$, получим для рассматриваемого течения в плоскости w бесконечную полосу (фиг. 1).

Ее отображение на верхнюю полуплоскость $\operatorname{Im} t > 0$ осуществляется интегралом Шварца — Кристоффеля

$$w(t) = C_1 \ln t + C_2$$

Из условия $w_D = 0$ следует, что $C_2 = 0$.

На свободной линии тока $\operatorname{Im} dw = \operatorname{Im} C_1 t^{-1} dt = 0$; отсюда $\operatorname{Im} C_1 = 0$; с учетом $t_F < 0$ имеем

$$w_F = \varphi_F + i v_0 H = C_1 \ln |t_F| + C_1 \pi i$$

найдем

$$C_1 = v_0 H / \pi.$$

Таким образом

$$w(t) = \frac{v_0 H}{\pi} \ln t, \quad dw = \frac{v_0 H}{\pi} \frac{dt}{t}$$

Из рассмотрения геометрии течения в плоскости $z = x + iy$ очевидно, что глубина динамического провала уровня

$$h = \int_A^F dy$$

а так как на свободной линии тока $d\psi = 0$, то

$$dy = \frac{\sin \theta}{v_0} d\varphi = \frac{\sin \theta}{v_0} dw$$

На линии тока AF $\Omega = -i\theta$, и интеграл (1) может быть записан в виде

$$\theta = -\frac{\pi}{2} \frac{F(\kappa, \varphi)}{K_1(\kappa)} \quad \left(\kappa^2 = \frac{1}{1-t_F} \right)$$

где $F(\kappa, \varphi)$ и $K_1(\kappa)$ — соответственно неполный и полный нормальные эллиптические интегралы Лежандра первого рода с модулем κ^2 .

Величины t и φ связаны между собой соотношением

$$t = -\frac{\kappa'^2 \sin^2 \varphi}{1 - \kappa'^2 \sin^2 \varphi} \quad (\kappa' = (1 - \kappa^2)^{1/2})$$

где κ' — дополнительный модуль.

Полученные соотношения дополняются уравнением неразрывности, которое можно записать в виде

$$\varepsilon = \frac{H}{b(1+E)^{1/2}}$$

$$\varepsilon = 1 - \frac{1}{b} \int_D^E dx, \quad dx = \frac{\cos \theta}{v_0(1+E)^{1/2}} dw$$

Здесь b — полуширина сливного отверстия, ε — коэффициент сжатия струи.

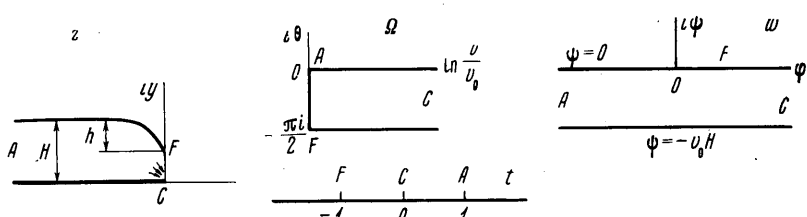
На фиг. 2 приведен график зависимости относительной глубины динамического провала уровня h/H от относительной глубины жидкости в сосуде H/b , построенный по полученным формулам.

Как видно из фигуры, глубина динамического провала уровня свободной поверхности жидкости при больших значениях H/b почти не зависит от глубины жидкости, асимптотически уменьшаясь до значения $2/\pi$ (см. ниже) и резко возрастающая при уменьшении глубины жидкости. Провал уровня достигает дна сосуда на оси сливного отверстия при глубине жидкости, лишь немного превышающей ширину сливного отверстия.

Несколько неожиданной явилась полученная при расчетах крайне слабая зависимость от глубины жидкости величины коэффициента сжатия ε . При изменении относительной глубины жидкости H/b от 2 до 8 величина ε изменилась от 0.9575 до 0.9581. Таким образом, коэффициент сжатия струи в этом случае примерно в полтора раза выше, чем в классическом случае истечения жидкости из бесконечно заполненного сосуда (0.611) и практически не зависит от глубины жидкости в сосуде.

При $H/b \rightarrow \infty$ сливное отверстие может быть заменено (фиг. 3) точечным стоком интенсивности $q = 2v_0 H$ в точке C плоскости z .

Прямоугольник в плоскости логарифмического годографа Ω вырождается при этом в полубесконечную полосу, отображение которой при помощи интеграла Шварца — Кристоффеля на верхнюю полуплоскость



Фиг. 3

$\operatorname{Im} t > 0$ при выбранном соответствии точек $t_c = 0$, $t_A = 1$ и $t_F = -1$ дает соотношение

$$\Omega(t) = -i/2 \arccos t^{-1}$$

В плоскости комплексного потенциала рассматриваемому течению соответствует бесконечная полоса, отображение которой на полу平面 Im $t > 0$ может быть осуществлено при помощи интеграла Шварца — Кристоффеля. Удобнее, однако, найти $w(t)$ непосредственно, воспользовавшись соотношением особенностей и разместив в точке A плоскости t источник, а в точке C — сток производительностью $2q = 2v_0 H$. Для полученного фиктивного течения в плоскости t

$$w(t) = \frac{v_0 H}{\pi} \ln \frac{t-1}{t}, \quad dw = \frac{v_0 H}{\pi} \frac{dt}{t(t-1)}$$

На свободной поверхности жидкости

$$\theta = \frac{1}{2} \arccos \frac{1}{t}, \quad \text{или} \quad t = \frac{1}{\cos 2\theta}, \quad dt = 2 \frac{\sin 2\theta}{\cos^2 2\theta} d\theta$$

Относительная глубина динамического провала уровня в этом случае равна

$$\lim_{H/b \rightarrow \infty} \frac{h}{H} = \frac{1}{H} \int_A^F dy = - \int_A^F \frac{\sin \theta}{v_0} dw = \frac{2}{\pi} \int_{-\pi/2}^0 \cos \theta d\theta = \frac{2}{\pi}$$

Этот результат соответствует горизонтальной асимптоте полученной выше зависимости величины h/H от относительной глубины слоя жидкости в сосуде H/b .

В заключение отметим, что полученные результаты справедливы и для случая расположения сливного отверстия у вертикальной стенки, что непосредственно следует из свойства симметричности рассмотренной задачи.

Поступило 28 X 1970

ЛИТЕРАТУРА

1. Коппенфельс В., Штальман Ф. Практика конформных отображений. М., Изд-во иностр. лит., 1963.